

# ارائه یک روش جدید و مؤثر به منظور بهبود کیفیت تصاویر SAR بر مبنای استخراج وابستگی‌های بین مقیاسی در حوزه موجک

محمد فروزانفر<sup>۱</sup>، حمید ابریشمی مقدم<sup>\*</sup> و مریم دهقانی<sup>۱</sup>

<sup>۱</sup>دانشگاه صنعتی خواجه نصیرالدین طوسی، تهران، ایران

تاریخ دریافت: ۱۳۸۷/۰۹/۱۰ تاریخ پذیرش: ۱۳۸۷/۰۱/۲۴

## چکیده

با وجود کاربرد مؤثر تصاویر SAR در استخراج خطواره‌ها و گسل‌ها، تهیه مدل رقومی زمین و تعیین جایه‌جایی‌ها و تغییر شکل زمین در اثر زلزله، این تصاویر به دلیل وجود نویه‌ای ضرب شونده به نام اسپکل (Speckle noise) از کیفیت رادیومتریک پایینی برخوردار هستند. بنابراین بهبود کیفیت این تصاویر به منظور استفاده بهینه از آنها در کاربردهای سنجش از دور، از اهمیت ویژه‌ای برخوردار است. در این مقاله یک روش جدید و مؤثر به منظور بهبود کیفیت تصاویر SAR ارائه شده است. در این روش، ابتدا تصویر لگاریتمی SAR توسط تبدیل موجک (Wavelet) مختلط دو شاخه تجزیه می‌شود. آنگاه به منظور استخراج صحیح وابستگی‌های بین مقیاسی، مؤلفه سیگنال ضرایب موجک در مقیاس‌های مجاور به صورت مؤثری توسط توزیع دو بعدی همسانگرد (Isotropic) پایدار مدل می‌شود، در حالی که مؤلفه نویه توسط یک توزیع گوسی دو بعدی همسانگرد تقریب زده خواهد شد. سپس یک تخمینگر دو متغیره بیز (Bivariate Bayesian estimator) برای جدادسازی بهینه سیگنال از نویه در فضای موجک طراحی می‌شود. مقیاسهای کیفی و کمی روش پیشنهادی با چندین روش جدید کاهش نویه اسپکل در تصاویر SAR، نشان از عملکرد بهینه این الگوریتم دارد.

**کلیدواژه‌ها:** نویه اسپکل، تصاویر SAR، تبدیل موجک مختلط دو شاخه، تخمینگر دو متغیره همسانگرد پایدار

Email: moghadam@saba.kntu.ac.ir

\*نویسنده مسئول: حمید ابریشمی مقدم

## ۱- مقدمه

امروزه استفاده از تصویربرداری SAR به عنوان روش امیدبخش مستقل از نور خورشید و پوشش ابر برای تهیه نقشه زمینی، توبوگرافی بین و اندازه‌گیری جایه‌جایی‌های کوچک در مقیاس بزرگ زمانی و مکانی با دقت زیر سانتی‌متر معروف شده است (Valadan-Zoej et al., 2005). اما، تصاویر SAR به دلیل حضور الگوی نقطه‌ای ضرب شونده ناخواسته‌ای که به نویه اسپکل مشهور است، کیفیت پایینی دارند. این نویه در اثر برخوردۀای سازنده و مخبر امواج رسیده از هدف به سنجنده ایجاد می‌شود

که به صورت نقاط تاریک و روشن در تصویر ظاهر می‌شود. بنابراین کاهش این نویه پیش از تفسیر تصویر امری ضروری است. به طور کلی یک روش موفق کاهش نویه در تصویر لازم است دارای ویژگی‌های زیر باشد (Oliver & Quegan, 1998):

(۱) اولاریانس نویه را در مناطقی از تصویر که از نظر آماری همگن هستند، کاهش دهد.  
(۲) ویژگی‌های مهم همچون بافت، لبه‌ها و خطوط را در تصویر حفظ نماید.  
(۳) اطلاعات رادیومتریک تصویر را حفظ نماید.

بر این اساس، تاکنون تلاش‌های زیادی برای حذف این نویه از تصاویر SAR انجام گرفته است. به طور کلی، دو روش اصلی برای کاهش نویه اسپکل در تصویر وجود دارد. روش اول که به نام روش چند منظره (Multi-look method) معروف است، پیش از ایجاد تصویر در سنجنده به کار می‌رود. در این روش آتنن سنجنده به چندین بخش تقسیم می‌شود و هر بخش به طور مجزا از هدف تصویربرداری می‌کند. در پایان، تصویر نهایی از میانگین تصاویر گرفته شده به دست می‌آید (Valadan-Zoej et al., 2005). روش دیگر فیلتر کدن تصویر است که می‌تواند به طور مستقیم بر روی تصویر و یا پس از اعمال یک نگاشت بر روی ضرایب تبدیل یافته صورت پذیرد. پیشتر فیلترهای حوزه مکان و بسامد با ایجاد توازن بین حذف نویه در نواحی همگن تصویر و حفظ جزئیات در نواحی ناهمگن، عمل نویه را در نواحی ناهمگن تصویر باقی می‌گذارد (Shi & Fung, 1994). فیلترهای ساده‌ای مانند متوسط گیر و میانه و یا فیلترهای تطبیق‌پذیر لی (Lee, 1980) و فراست (Frost et al., 1982) از این جمله‌اند. از دیگر روش‌های حذف نویه اسپکل می‌توان به فیلتر وینر (Jain, 1989) و همچنین روش‌های جدیدتری مانند پنجره‌های تطبیق‌پذیر (Adaptive windowing method)

امروزه استفاده از تصویربرداری SAR به عنوان روش امیدبخش مستقل از نور خورشید و پوشش ابر برای تهیه نقشه زمینی، توبوگرافی بین و اندازه‌گیری جایه‌جایی‌های کوچک در مقیاس بزرگ زمانی و مکانی با دقت زیر سانتی‌متر معروف شده است (Valadan-Zoej et al., 2005). اما، تصاویر SAR به دلیل حضور الگوی نقطه‌ای ضرب شونده ناخواسته‌ای که به نویه اسپکل مشهور است، کیفیت پایینی دارند. این نویه در اثر برخوردۀای سازنده و مخبر امواج رسیده از هدف به سنجنده ایجاد می‌شود که به صورت نقاط تاریک و روشن در تصویر ظاهر می‌شود. بنابراین کاهش این نویه در تصویر لازم است دارای ویژگی‌های زیر باشد (Oliver & Quegan, 1998):

(۱) اولاریانس نویه را در مناطقی از تصویر که از نظر آماری همگن هستند، کاهش دهد.  
(۲) ویژگی‌های مهم همچون بافت، لبه‌ها و خطوط را در تصویر حفظ نماید.  
(۳) اطلاعات رادیومتریک تصویر را حفظ نماید.

بر این اساس، تاکنون تلاش‌های زیادی برای حذف این نویه از تصاویر SAR انجام گرفته است. به طور کلی، دو روش اصلی برای کاهش نویه اسپکل در تصویر وجود دارد. روش اول که به نام روش چند منظره (Multi-look method) معروف است، پیش از ایجاد تصویر در سنجنده به کار می‌رود. در این روش آتنن سنجنده به چندین بخش تقسیم می‌شود و هر بخش به طور مجزا از هدف تصویربرداری می‌کند. در پایان، تصویر نهایی از میانگین تصاویر گرفته شده به دست می‌آید (Valadan-Zoej et al., 2005). روش دیگر فیلتر کدن تصویر است که می‌تواند به طور مستقیم بر روی تصویر و یا پس از اعمال یک نگاشت بر روی ضرایب تبدیل یافته صورت پذیرد. پیشتر فیلترهای حوزه مکان و بسامد با ایجاد توازن بین حذف نویه در نواحی همگن تصویر و حفظ جزئیات در نواحی ناهمگن، عمل نویه را در نواحی ناهمگن تصویر باقی می‌گذارد (Shi & Fung, 1994). فیلترهای ساده‌ای مانند متوسط گیر و میانه و یا فیلترهای تطبیق‌پذیر لی (Lee, 1980) و فراست (Frost et al., 1982) از این جمله‌اند. از دیگر روش‌های حذف نویه اسپکل می‌توان به فیلتر وینر (Jain, 1989) و همچنین روش‌های جدیدتری مانند پنجره‌های تطبیق‌پذیر (Adaptive windowing method)

تصویر اصلی و تصویر نوفه‌ای هستند.

### ۲-۳. تبدیل موجک مختلط دو شاخه

پس از تبدیل اسپکل به نوفه‌ای جمع‌شونده، می‌توان با روش‌های مرسوم حذف نوفه در فضای موجک، آن را کاهش داد. در این مقاله تبدیل موجک مختلط دو شاخه (Dual wavelet transform) به منظور تجزیه سیگنال پیشنهاد شده است. این تبدیل افون بر عدم حساسیت به انتقال، دارای ویژگی جهت دار بودن در زوایای  $\pm 15^\circ$  و  $\pm 45^\circ$  و  $\pm 75^\circ$  نیز است (Selesnic et al., 2005) که بدین ترتیب امکان حذف نوفه اسپکل را در جهت‌های و مقیاس‌های مختلف به شکل مؤثرتری مقدور می‌سازد. از آنجا که ضرایب تقریب (Approximation coefficients) در تبدیل موجک حاوی اطلاعات بسامد پایین، که پیشتر مربوط به سیگنال اصلی هستند، می‌باشد این ضرایب در پیشتر روش‌های حذف نوفه دست نخورده باقی مانده و تنها ضرایب تفصیل (Detailed coefficients) به نوعی مجاله می‌شوند. ضرایب تفصیل در تبدیل موجک مختلط دو شاخه متعامد در هر مقیاس و جهت مشخص به شکل زیر قابل بیان هستند (Mallat, 1998):

$$d_i = c_i + n_i \quad (5)$$

که  $d$  معرف ضرایب نوفه ای موجک و  $c$  و  $n$  مؤلفه‌های سیگنال و نوفه آن هستند. همچنین ۱ پارامتر مقیاس است که از  $1$  تا  $J$  متغیر است. با وجود این که تبدیل موجک به خوبی سیگنال موردنظر را تاهمبسته می‌سازد، وابستگی‌های بین مقیاسی و درون مقیاسی زیادی بین ضرایب موجک وجود دارد. استخراج درست این وابستگی‌ها به بهبود سیگنال افزایش زیاد الگوریتم‌های حذف نوفه و فشرده‌سازی منجر خواهد شد. این وابستگی‌ها با افزایش اختلاف دو مقیاس به شدت کاهش می‌یابند. در این مقاله، برای سادگی کار، همچون روش‌های گذشته مشابه (Sendur & Selesnick, 2002) تها مدل خود را به دو مقیاس مجاور محدود می‌کنیم. براین اساس، مدل معروف شده در رابطه (5) را برای دو مقیاس مجاور به شکل زیر نمایش می‌دهیم:

$$d = c + n \quad (6)$$

که  $d = (d_i, d_{i+1})^T$ ،  $c = (c_i, c_{i+1})^T$  و  $n = (n_i, n_{i+1})^T$ . اکنون می‌توان با مدلسازی مناسب مؤلفه نوفه و سیگنال در رابطه بالا و طراحی یک تخمینگر دو متغیره بیز نوفه اسپکل را به طور مؤثری کاهش داد.

### ۴- مدلسازی مؤلفه‌های سیگنال و نوفه

نوفه اسپکل پس از تبدیل لگاریتمی و تبدیل موجک، قابل مدلسازی توسط یک توزیع گوسی با میانگین صفر در هر زیر باند است (Xie et al., 2002). از آن جا که از یک تبدیل متعامد موجک استفاده می‌کنیم، واریانس نوفه در کلیه زیر باندهای موجک ثابت خواهد ماند و می‌توان از یک توزیع دو متغیره گوسی با میانگین صفر و واریانس  $\sigma_n^2$  به منظور مدلسازی مؤلفه نوفه در هر دو زیر باند مجاور استفاده نمود:

$$p_n(\mathbf{n}) = \frac{1}{2\pi\sigma_n^2} \exp\left(-\frac{n_i^2 + n_{i+1}^2}{2\sigma_n^2}\right) \quad (7)$$

در این مقاله، شکل کلی توزیع‌های دو متغیره پایدار دایروی را به منظور مدلسازی ضرایب موجک تصاویر SAR پیشنهاد می‌کنیم. توزیع‌های پایدار شکل ریاضی صریحی ندارند و توسط تابع مشخصه (Characteristic function) تعریف می‌شوند. تابع مشخصه یک توزیع دو متغیره پایدار دایروی در حالت کلی به شکل زیر است (Nikias, & Shao, 1994):

$$\phi(w) = \exp(j(\delta_i w_i + \delta_{i+1} w_{i+1}) - \gamma(w_i^2 + w_{i+1}^2)^{\alpha/2}) \quad (8)$$

که  $\alpha$  نمای مشخصه،  $\delta_i$  و  $\delta_{i+1}$  پارامترهای مکان،  $\gamma$  ( $> 0$ ) پراکندگی توزیع است. با توجه به این که این مدل به ضرایب تفصیل موجک اعمال خواهد شد،

فضای موجک مختلط پیاده‌سازی خواهد شد. تبدیل موجک مختلط دارای خواص عدم حساسیت به انتقال و جهت دار بودن در زوایای  $\pm 15^\circ$ ،  $\pm 45^\circ$  و  $\pm 75^\circ$  است. ویژگی عدم حساسیت به انتقال باعث خواهد شد که اثر شبیه گیبس (Pseudo Gibbs phenomenon) در تصویر نهایی به کمترین مقدار برسد. از طرفی گزینش جهت بهتر این تبدیل نسبت به تبدیل موجک استاندارد امکان تفکیک سیگنال را از نوفه درجهات مختلف ممکن ساخته و بنابراین لبه و خطوط در جهت‌های مختلف تصویر با کیفیت بهتری حفظ خواهند شد. مقایسه‌های کیفی و کمی روش پیشنهادی با روش‌های جدید کاهش نوفه اسپکل در تصاویر SAR، نشان از عملکرد بهینه این الگوریتم دارد.

### ۲- نوفه اسپکل در تصاویر SAR

اسپکل به واسطه اثراهای سازنده و مخرب امواج بازتاب یافته از هدف در محل سنجنده به وجود می‌آید و به صورت نقاط تاریک و روشن در تصویر ظاهر می‌شود. این نوفه کیفیت تصاویر SAR و توانایی تفسیر آنها را به شدت کاهش می‌دهد. می‌توان نشان داد دامنه میدان مختلط حاصل از این برخوردهای تصادفی دارای مؤلفه‌های حقیقی و موهومی  $E_r$  و  $E_i$  با تابع چگالی احتمال توان گوسی با واریانس  $\sigma^2$  به شکل زیر خواهد بود (Ulaby & Dobson, 1989; Goodman, 1976):

$$P(E_r^2, E_i^2) = \frac{1}{2\pi\sigma^2} \exp\left\{-\frac{E_r^2 + E_i^2}{2\sigma^2}\right\} \quad (1)$$

چنانچه دامنه امواج بازگشته در گیرنده آشکار شود، با اندازه فازور  $(E_r^2 + E_i^2)^{1/2}$  سروکار خواهیم داشت. این اندازه برای نوفه اسپکل دارای توزیع ریلی با میانگین واحد است (Goodman, 1976):

$$p(f) = \begin{cases} \frac{\pi f}{2} \exp\left(-\frac{\pi f^2}{4}\right) & f \geq 0 \\ 0 & f < 0 \end{cases} \quad (2)$$

می‌توان با میانگین گیری از  $N$  تصویر مشابه با الگوهای مستقل اسپکل، میزان نوفه را کاهش داد. در این صورت توزیع نوفه با  $N$  کانولوشن پی دربی توزیع ریلی (Rayleigh distribution) به دست می‌آید (Xie et al., 2002).

### ۳- پیش‌پردازش تصاویر SAR

در این بخش به معرفی مراحل پیش‌پردازش تصاویر SAR به منظور اعمال الگوریتم پیشنهادی پرداخته می‌شود. ابتدا به کمک تبدیل لگاریتم، نوفه ضرب شونده اسپکل را به نوفه‌ای جمع‌شونده تبدیل می‌نماییم. به این ترتیب، به کمک این مدله ساده برای نوفه، قادر خواهیم بود الگوریتم پیشنهادی که بر مبنای مدله نوفه جمع‌شونده در فضای موجک است را اعمال کنیم. آنگاه به معرفی تبدیل موجک مناسب برای تجزیه تصویر لگاریتمی خواهیم پرداخت.

#### ۳-۱. تبدیل لگاریتم

نشان داده شده است که اسپکل به صورت نوفه‌ای ضرب شونده در تصاویر SAR قابل مدلسازی است (Ulaby & Dobson, 1989). بنابراین یک مدله ساده برای تصویر SAR به صورت زیر است:

$$V(x,y) = S(x,y) \cdot F(x,y) \quad (3)$$

که در این رابطه  $V$  و  $F$  به ترتیب داده نوفه‌ای، سیگنال و نوفه را نشان می‌دهد. برای تبدیل نوفه ضرب شونده به جمع‌شونده تبدیل لگاریتمی از هر دو طرف رابطه (3) گرفته می‌شود:

$$D(x,y) = C(x,y) + N(x,y) \quad (4)$$

که  $D(x,y)$  نوفه جمع‌شونده است و  $C(x,y)$  و  $N(x,y)$  به ترتیب تبدیل لگاریتمی

به صورت عددی را برای چهار مقدار مختلف  $\alpha$  نمایش می‌دهد. همان طور که از شکل پیداست، به ازای مقادیر مختلف  $\alpha$ ،  $\alpha_1$  و  $\alpha_2$ ، ناحیه مچاله‌سازی رویه دو بعدی (عنی ناحیه‌ای که ضرایب به شدت مچاله می‌شوند) کوچک‌تر یا بزرگ‌تر می‌شود، اما شکل کلی آن ثابت است. همچنین مشخص است که مچاله‌سازی یک ضریب نه تنها به اندازه خودش وابسته است (مانند روش پیشنهادی Achim et al., 2001)، بلکه به مقدار ضریب متناظر در مقیاس تعزیزه بعدی (عنی به مقدار والدش) نیز وابسته خواهد بود. پس از برآورد ضرایب سیگنال از ضرایب نوفه‌ای، تصویر بازیافتد  $\hat{S}(x,y)$  با اعمال تبدیل معکوس موجک و آنگاه تبدیل 2003 نمایی به دست می‌آید.

## ۷- نتایج عملی

در این بخش، روش پیشنهادی بهبود کیفیت تصاویر SAR را با چندین روش جدید دیگر مقایسه کرده و نتایج را به صورت کمی و کیفی مورد بررسی و تحلیل قرار خواهیم داد. به این منظور الگوریتم پیشنهادی بر روی دو گروه از تصاویر آزمایش خواهد شد. در آزمایش اول، نوفه اسپکل شبیه‌سازی شده به یک تصویر بدون نوفه اضافه شده و آنگاه کارایی روش‌های مختلف حذف نوفه اسپکل به صورت SAR کمی و کیفی مقایسه خواهد شد. آزمایش دوم بر روی تصاویر واقعی نوفه‌ای SAR انجام می‌شود. در این مرحله تصویر بدون نوفه اولیه در دسترس نیست و تنها به مقایسه کمی تصاویر پرداخت خواهد شد. در کلیه آزمایش‌ها، ابتدا ضرایب موجک لگاریتم تصویر به کمک الگوریتم موجک مخلط دو شاخه اخذ می‌شود و تعداد سطوح تعزیزه موجک به کار رفته 5 است. از آن جا که از تبدیلی معماد (Orthogonal transform) استفاده می‌شود، امکان طراحی فیلترهایی که به طور کامل متقاضی باشند وجود ندارد. به همین منظور از فیلترهای متعامد فراس که دارای بیشترین تقارن در میان فیلترهای طراحی شده برای تبدیل موجک مخلط هستند، استفاده می‌شود. همچنین فیلترهای فراس (Farras filter) طوری طراحی شده‌اند که از نظر داشتن بیشترین ممان میرا در مقابل کمترین طول بهینه هستند که از نظر انتخابی برای مقایسه با الگوریتم (Abdelnour & Selesnick, 2004) پیشنهادی، ۱) فیلتر حوزه مکانی (Lee, 1980)، ۲) فیلتر حوزه بسامد وینر (Jain, 1989)، ۳) آستانه‌گذاری نرم در فضای موجک (Donoho, 1995) و ۴) الگوریتم بازیزن (Achim et al., 2003) WINSAR هستند.

## ۷-۱. آزمایش اول

آزمایش اول بر روی یک تصویر SAR  $256 \times 256$  پیکسل انجام می‌شود. در این آزمایش ابتدا تصویر توسط فیلتر وینر فیلتر می‌شود و تصویر حاصل به عنوان تصویر عاری از نوفه اسپکل فرض می‌شود. آنگاه نوفه اسپکل شبیه‌سازی شده به آن اضافه می‌شود (Achim et al., 2003). در این آزمایش تصویر بدون نوفه اولیه در دسترس است، بنابراین می‌توان با استفاده از معیارهایی به صورت کمی الگوریتم‌های مختلف را با یکدیگر مقایسه نمود. در ارزیابی نتایج، دو معیار نسبت سیگنال به نوفه (SNR) و معیار حفظ لبه ( $\beta$ ) به کار رفته است. نسبت سیگنال به نوفه کارایی یک روش را در حذف نوفه اسپکل نشان می‌دهد و از رابطه زیر قابل محاسبه است (Raney & Wessels, 1988; Sattar et al., 1997)

$$SNR = 10 \log_{10} \left( \frac{\sum_{x,y} (S(x,y))^2}{K \times L \times MSE} \right) \quad (16)$$

که  $K$  و  $L$  ابعاد تصویر و  $S(x,y)$  تصویر بازیابی شده است. میانگین مربع خطای ( $MSE$ ) از رابطه زیر محاسبه می‌شود:

$T = [0, 1]^T = [\delta_1, \delta_{n+1}]^T$  فرض می‌شود. توزیع دو متغیره پایدار به علت داشتن خواص توزیع گوسی در حالت  $\alpha=2$  و داشتن خواص توزیع‌های با دنباله طولانی از ازای مقادیر کوچک‌تر  $\alpha$ ، توان مدل‌سازی ضرایب موجک تصاویر گوناگون را به خوبی دارد. اکنون با داشتن توزیع مؤلفه‌های سیگنال و نوفه در رابطه  $(6)$ ، پس از برآورد متغیرهای مورد نیاز، می‌توان با طراحی یک تخمینگر دو متغیره بیز، سیگنال را با دقت مناسبی از ضرایب نوفه‌ای موجک برآورد کرد.

## ۵- برآورد متغیرهای سیگنال و نوفه

پیش از طراحی تخمینگر دو متغیره بیز برای جداسازی سیگنال از نوفه، لازم است متغیرهای سیگنال و نوفه برای هر دو مقیاس مجاور برآورد شود. برای توزیع سیگنال دو متغیر مجهول  $\alpha$  و  $\beta$  و برای توزیع نوفه یک متغیر مجهول  $\theta$  مورد نیاز است. بر اساس رابطه  $(6)$ ، تابع چگالی احتمال ضرایب نوفه‌ای موجک با کانون‌لوزن توابع چگالی احتمال سیگنال و نوفه به دست می‌آید. از آنجایی که فرم بسته‌ای برای تابع چگالی احتمال پایدار وجود ندارد، لذا این رابطه در حوزه بسامد توسعه توابع مشخصه مربوطه به شکل زیر قابل تعریف است (Papoulis & Pillai, 2002):

$$\varphi_d(w) = \varphi_c(w) \cdot \varphi_n(w) \quad (9)$$

که  $\varphi_c(w)$  و  $\varphi_n(w)$  به ترتیب توابع مشخصه سیگنال، نوفه و ضرایب نوفه‌ای هستند.  $\varphi_c(w)$  و  $\varphi_n(w)$  توسط روابط زیر قابل بیانند:

$$\varphi_c(w) = \exp(-\gamma(w_i^2 + w_{i+1}^2)^{\alpha/2}) \quad (10)$$

$$\varphi_n(w) = \exp\left(-\frac{\sigma_n^2 (w_i^2 + w_{i+1}^2)}{2}\right) \quad (11)$$

اکنون متغیرهای مجهول این دو توزیع با کمینه کردن مربع خطای مربوط به برازش رابطه  $(9)$  بر تابع ویژگی تجربی ضرایب موجک  $\varphi_{de}(w)$  به دست می‌آیند:

$$\{\hat{\alpha}_n, \hat{\beta}, \hat{\gamma}\} = \arg \min_{\{\alpha_n, \beta, \gamma\}} \int [ \varphi_d(w) - \varphi_{de}(w) ]^2 dW \quad (12)$$

به منظور سادگی بیشتر می‌توان واریانس نوفه را از ضرایب اولین سطح تعزیزه موجک بر اساس رابطه زیر برآورد کرد (Donoho & Johnstone, 1994):

$$\hat{\sigma}_n^2 = \frac{\text{median}(|d_i|)}{0.6745} \quad (13)$$

## ۶- تخمینگر دو متغیره بیز

پس از برآورد پارامترهای توزیع سیگنال و نوفه، اکنون هدف طراحی یک تخمینگر دو متغیره بیز است. با کمینه کردن یک تابع تلفات (Loss function) درجه دو، تخمینگر بیز توسط میانگین شرطی حاشیه‌ای  $c_i$  با داشتن  $d$  قابل بیان است (Forouzanfar, 2007):

$$\hat{c}_i(d) = \arg \min_c \int \int (c_i - c_j)^2 p_{c|d}(\mathbf{c}|d) dc = \int \int c_i p_{c|d}(\mathbf{c}|d) dc \quad (14)$$

با اعمال قانون بیز داریم:

$$\hat{c}_i(d) = \frac{\int \int p_n(\mathbf{d}-\mathbf{c}) p_c(\mathbf{c}) c_i dc}{\int \int p_n(\mathbf{d}-\mathbf{c}) p_c(\mathbf{c}) dc} = \frac{\int \int p_n(\mathbf{n}) p_c(\mathbf{c}) c_i dc}{\int \int p_n(\mathbf{n}) p_c(\mathbf{c}) dc} \quad (15)$$

تخمینگر پیشنهادی فرم بسته‌ای ندارد، بنابراین لازم است به صورت عددی محاسبه شود. در این تخمینگر مچاله‌سازی (Shrinkage) یک ضریب موجک نه تنها تابعی از اندازه آن ضریب است، بلکه تابعی از ضریب متناظر موجک در مقیاس بعدی نیز است. با استخراج این وابستگی‌های بین مقیاسی، انتظار می‌رود بهبود مناسبی در نتایج حذف نوفه به دست آید. شکل ۱ رویه ورودی- خروجی محاسبه شده

به منظور کاهش نویه اسپکل و حفظ جزئیات و لبه‌ها است. بنابراین از نقطه نظر کیفی نیز به نظر می‌رسد روش ارائه شده عملکرد بهتری در مقایسه با روش‌های دیگر دارد. همانطور که دیده می‌شود این نتایج بر نتایج بخش پیش و جدول ۱ منطبق هستند.

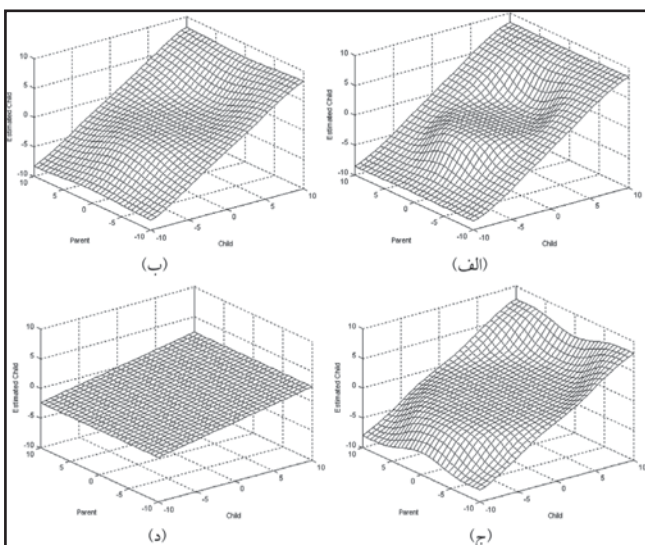
## ۸- نتیجه‌گیری

در این مقاله یک روش جدید برای کاهش نویه اسپکل در فضای موجک با به کار گیری یک الگوریتم جدید برای استخراج وابستگی‌های بین مقیاسی ارائه شد. به این منظور توزیع دو متغیره پایدار همسانگرد برای مدل‌سازی مؤلفه سیگنال ضرایب موجک پیشنهاد شد، حال آن که مؤلفه نویه توزیع توسط توزیع دو متغیره گوسی تقریب زده شد. استفاده از توزیع پایدار این برتری را دارد که به علت داشتن خواص دنباله طولانی، قادر است با تنظیم درست متغیرهایش مجموعه وسیعی از سیگنال‌ها را با دقت خوب مدل‌سازی نماید.

به منظور برآورده بترین مقدار سیگنال عاری از نویه، یک تخمینگر جدید دو متغیره بر اساس قانون بیز طراحی شد که توابع توزیع ضرایب موجک سیگنال و نویه را به عنوان اطلاعات اولیه به کار می‌برد. این تخمینگر مانند یک آشکارساز، عوارض خطی و لبه‌ها را در تصویر آشکار می‌سازد. با وجود مزایایی که الگوریتم ارائه شده دارد، از نظر محاسباتی گران است. بویژه برآورده متغیرهای توابع توزیع سیگنال و نویه به عنوان وقت‌گیرترین مرحله محاسباتی در این الگوریتم به شمار می‌آید. استفاده از الگوریتم‌های مؤثرتر در برآورده متغیرهای مجھول منجر به کاهش هزینه محاسباتی الگوریتم مربوطه می‌شود.

## سپاسگزاری

به این وسیله از مرکز تحقیقات مخابرات ایران به دلیل حمایت‌های مادی و معنوی از این پژوهه تقدير به عمل می‌آید.



شکل ۱- رویه ورودی- خروجی پردازنده بیز پیشنهادی در رابطه (۱۵) به ازای نسبت ثابت  $\sigma_n/\sigma_a = 2.5$  و چهار مقدار مختلف  $\alpha$ : (الف)  $\alpha=0.5$ ، (ب)  $\alpha=1.5$ ، (ج)  $\alpha=1.95$ ، (د)  $\alpha=2.5$ .

$$MSE = \frac{\sum_{x,y} [\hat{S}(x,y) - S(x,y)]^2}{K \times L} \quad (17)$$

مقادیر کوچک  $MSE$  و مقادیر بزرگ  $SNR$  نشان از عملکرد مناسب یک الگوریتم حذف نویه دارند. از آن جا که حفظ جزئیات تصویر در یک الگوریتم حذف نویه اهمیت بالایی دارد، لذا از معیار حفظ لبه نیز استفاده می‌کنیم. معیار حفظ لبه نیز از رابطه زیر به دست می‌آید (Sattar et al., 1997):

$$\beta = \rho(\hat{S}, \Delta S) \quad (18)$$

$$\rho(\hat{S}, S) = \frac{E(\hat{S}, S) - E(\hat{S})E(S)}{\sqrt{[E(\hat{S})^2 - E^2(\hat{S})] \cdot [E(S)^2 - E^2(S)]}} \quad (19)$$

که  $E$  و  $\Delta$  به ترتیب عملگرهای امید ریاضی و لاپلاسین هستند. مقادیر نزدیک به ۱ معیار  $\beta$  عملکرد مناسب یک الگوریتم حذف نویه را نشان می‌دهد. برای شبیه‌سازی نویه اسپکل به ترتیب زیر عمل می‌کنیم (Raney & Wessels, 1988):

- یک میدان مختلط گوسی مطابق با رابطه (۱) ایجاد می‌نماییم.

- میدان متنجه را از یک فیلتر پایین گذر (به منظور ایجاد الگوی اسپکل همبسته) عبور می‌دهیم. نشان داده شده است که بهترین فیلتر پایین گذر برای ایجاد الگوی اسپکل همبسته یک فیلتر  $3 \times 3$  به شکل زیر است (Bolter et al., 1996):

$$\frac{1}{8} \begin{bmatrix} 0 & 1 & 0 \\ 1 & 4 & 1 \\ 0 & 1 & 0 \end{bmatrix}$$

- اندازه خروجی فیلتر را به دست می‌آوریم.

- حاصل را بهنجار می‌نماییم.

با انتخاب انحراف معیارهای مختلف برای میدان گوسی در رابطه (۱) می‌توان به سطوح مختلفی از نویه اسپکل دست یافت. در این پژوهش، آزمایش را در سطح مختلف نویه متناظر با  $\sigma=0.17$ ،  $\sigma=0.26$  و  $\sigma=0.33$  انجام می‌دهیم.

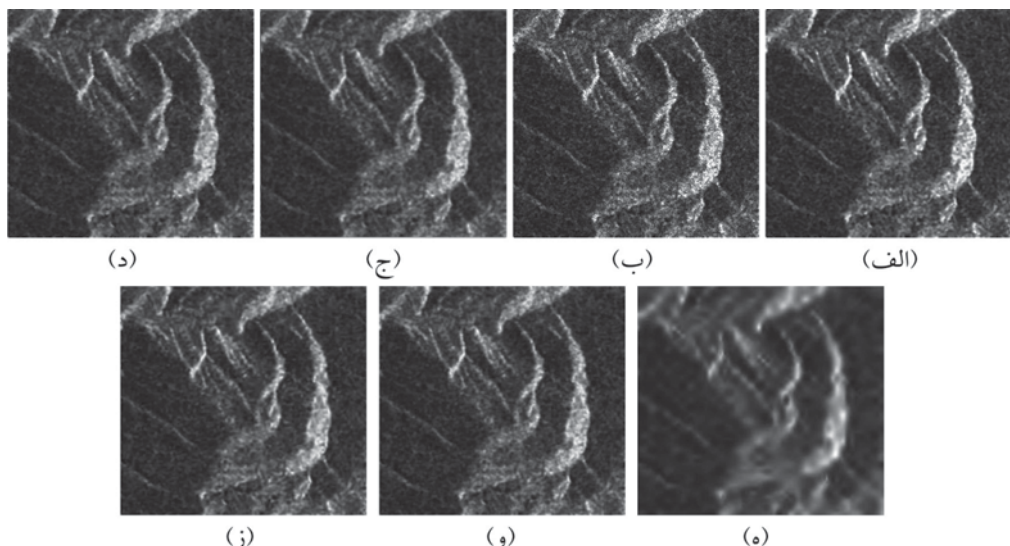
جدول ۱ نتایج حذف نویه اسپکل از تصویر مورد نظر، برای این سه سطح نویه نشان می‌دهد. همچنین تصویر SAR مورد نظر و نتایج بهبود کیفیت روش‌های مختلف در شکل ۲ آمده است. با توجه به جدول ۱ و شکل ۲، مشخص است که فیلترهای حوزه مکان و سامد در حذف نویه اسپکل و حفظ جزئیات تصویر ناموفق هستند. همچنین روش آستانه‌گذاری ضرایب موجک باعث محو شدن تصویر خواهد شد. این در حالی است که روش پیشنهادی در حذف نویه و حفظ جزئیات بسیار مؤثرتر نسبت به روش‌های بیان شده عمل می‌نماید.

## ۷- آزمایش دوم

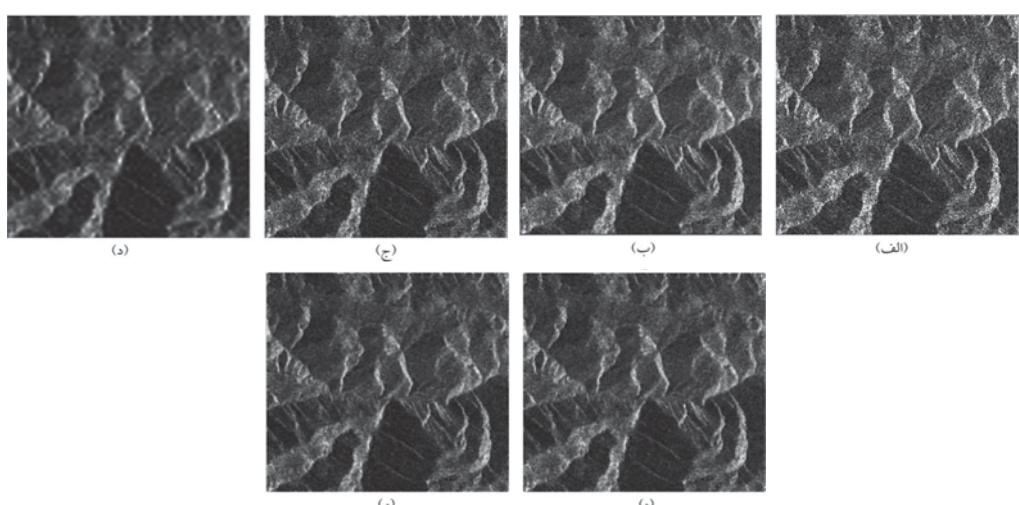
آزمایش دوم بر روی تصاویر واقعی SAR حاوی نویه اسپکل انجام می‌شود. در این آزمایش دسترسی به تصویر اولیه بدون نویه ممکن نیست، بنابراین تنها به مقایسه کیفی نتایج پرداخته می‌شود. شکل ۳ نتایج روش‌های مختلف بهبود کیفیت بر روی یک تصویر واقعی  $512 \times 512$  پیکسل SAR را نشان می‌دهد. با دقت بیشتر در این شکل ملاحظه می‌شود که فیلترهای لی و وینر در حذف نویه و حفظ جزئیات چندان موفق عمل نمی‌کنند. همچنین روش آستانه‌گذاری ضرایب موجک با وجود کاهش نویه اسپکل در نواحی همگن تصویر، بسیاری از جزئیات و بافت اصلی تصویر را محو یا حذف نموده است. در این میان روش بازیزن WINSAR توانسته است نتایج خوبی در حذف نویه اسپکل و حفظ جزئیات کسب نماید. همچنین روش پیشنهادی تا حدودی نتایج بهتری نسبت به فیلتر WINSAR کسب نموده است که این بهبود ناشی از استفاده از اطلاعات بین مقیاسی ضرایب موجک

جدول ۱- مقایسه روش‌های مختلف حذف نویه اسپکل در سه سطح مختلف نویه با انحراف معيارهای  $\sigma=0.17$ ،  $\sigma=0.26$  و  $\sigma=0.33$

$\sigma=0.17$	$\sigma=0.26$	$\sigma=0.33$	روش			معیار	
$\beta$	SNR	$\beta$	SNR	$\beta$	SNR	روش	معیار
۰/۵۱	۱۵/۵۳	۰/۳۹	۱۲/۰۲	۰/۳۲	۱۰/۴۶	تصویر نویه‌ای	
۰/۴۰	۱۴/۸۱	۰/۴۴	۱۴/۱۱	۰/۴۱	۱۳/۶۴	روش ۱	
۰/۶۷	۱۸/۰۱	۰/۶۱	۱۶/۰۵	۰/۵۵	۱۴/۹۵	روش ۲	
۰/۴۸	۱۳/۵۸	۰/۴۷	۱۲/۶۷	۰/۴۴	۱۲/۲۹	روش ۳	
۰/۷۱	۱۹/۵۳	۰/۶۶	۱۶/۵۱	۰/۶۳	۱۵/۲۴	روش ۴	
۰/۷۶	۲۰/۲۲	۰/۷۰	۱۷/۱۵	۰/۶۵	۱۵/۳۱	روش پیشنهادی	



شکل ۲- مقایسه نتایج حذف نویه اسپکل شبیه‌سازی شده توسط روش‌های مختلف: (الف) تصویر بدون نویه ب) تصویر نویه‌ای با نسبت سیگنال به نویه ۱۰/۴۶ دی بی، (ج) روش لی، (د) روش وینر، (ه) روش آستانه‌گذاری نرم ضرایب موجک، (و) روش WINSAR، (ز) روش پیشنهادی



شکل ۳- مقایسه روش‌های حذف نویه اسپکل بر روی یک تصویر واقعی SAR: (الف) تصویر نویه‌ای، (ب) روش لی، (ج) روش وینر، (د) روش آستانه‌گذاری نرم ضرایب موجک، (ه) روش WINSAR، (و) روش پیشنهادی

## References

- Abdelnour, A. F. & Selesnick, I. W., 2004-Symmetric nearly orthogonal and orthogonal nearly symmetric wavelets, *The Arabian Journal of Science and Engineering*, 29: 3-16.
- Achim, A., Tsakalides, P. & Bezerianos, A., 2001- Novel Bayesian method for speckle removal in medical ultrasound images, *IEEE Trans. Medical Imaging*, 20: 772-783.
- Achim, A., Tsakalides, P. & Bezerianos, A., 2003-SAR image denoising via Bayesian wavelet shrinkage based on Heavy-Tailed modeling, *IEEE Trans. Geosci. Remote Sensing*, 41: 1773-1784.
- Bolter, R., Gelautz, M. & Franz, L., 1996- SAR speckle simulation, *International Archives of Photogrammetry and Remote Sensing*, 21:20-25.
- Dijkerman, R. W. & Mazumdar, R. R., 1994-Wavelet representations of stochastic processes and multiresolution stochastic models, *IEEE Trans. Signal Process.*, 42: 1640-1652.
- Donoho, D. L. & Johnstone, I. M., 1994- Ideal spatial adaptation by wavelet shrinkage, *Biometrika*, 81: 425-455.
- Donoho, D. L., 1995- De-Noising by soft-thresholding, *IEEE Trans. Info. Theory*, 41: 613-627.
- Forouzanfar, M., 2007- Improvement of the wavelet domain Bayesian estimator algorithm for despeckling of medical ultrasound images, M. S. thesis, K. N. Toosi University of Technology, Tehran, Iran.
- Frost, V. S., Stiles, J. A., Shannugan, K. S. & Holtzman, J. C., 1982- A model for radar images and its application to adaptive digital filtering of multiplicative noise, *IEEE Trans. Pattern Anal. Machine Intell.*, PAMI-4: 157-165.
- Goodman, J. W., 1976- Some fundamental properties of speckle, *Journal of Optical Society of America*, 66: 1145-1150.
- Jain, A. K., 1989- Fundamentals of digital image processing, Prentice-Hall.
- Lee, J. S., 1980- Digital Image enhancement and noise filtering by using local statistics, *IEEE Trans. Pattern Anal. Machine Intell.*, PAM1-2: 286-294.
- Liu, J. & Moulin, P., 2001- Information-Theoretic analysis of interscale and intrascale dependencies between image wavelet coefficients, *IEEE Trans. Image process.*, 10: 1647-1658.
- Mallat, S., 1998- A wavelet tour of signals processing, Academic Press, 1998.
- Nikias, C. L. & Shao, M., 1994- Signal processing with alpha-stable distributions and applications, Chapman and Hall.
- Oliver, C. & Quegan, S., 1998- Understanding Synthetic Aperture Radar Images, Boston, MA: Artech House.
- Papoulis, A. & Pillai, S. U., 2002- Probability, random variables and stochastic processes, McGraw-Hills.
- Park, J. M., Song, W. J. & Pearlman, W. A., 1999- Speckle filtering of SAR images based on adaptive windowing, *IEE Proc. Vision Image Signal Process.*, 146: 191-197.
- Raney, R. K. & Wessels, G. J., 1988- Spatial consideration in SAR speckle simulation, *IEEE Trans. Geoscience and remote sensing*, 26: 666-672.
- Sattar, F., Floreby, L., Salomonsson, G. & Lovstrom, B., 1997- Image Enhancement Based on a Nonlinear Multiscale Method, *IEEE Trans. Image process.*, 6: 888-895.
- Selesnick, I. W., Baraniuk, R. G. & Kingsbury, N. G., 2005- The dual-tree complex wavelet transform, *IEEE signal processing magazine*, 22: 123-151.
- Sendur, L. & Selesnick, I. W., 2002- Bivariate shrinkage functions for wavelet-based denoising exploiting interscale dependency, *IEEE Trans. Signal Process.*, 50: 2744-2756.
- Sendur, L. & Selesnick, I. W., 2002- Bivariate shrinkage with local variance estimation, *IEEE Signal Processing Letters*, 9: 438-441.
- Shi, K. & Fung, B., 1994- A Comparison of Digital Speckle Filters, *Proceedings of IGRASS94*, Pasadena, USA.
- Ulaby, F. T. & Dobson, M. C., 1989- Handbook of radar scattering statistics for terrain, Artech House.
- Valadan-Zoej, M., Abrishami-Moghaddam, H. & Dehghani, M., 2005- An Efficient Algorithm for Speckle Reduction in SAR Images Using Wavelet Transformation, *Geosciences Journal*, Geological Survey of Iran, 54: 108-113.
- Xie, H., Pierce, L. E. & Ulaby, F., 2002- Statistical properties of logarithmically transform speckle, *IEEE Trans. Geosci. Remote sensing*, 40: 721-727.
- Yu, Y. & Acton, S.T., 2002- Speckle reducing anisotropic diffusion, *IEEE Trans. Image process.*, 11: 1260-1270.

plastic deformation evidences, applicability of magmatic flow criteria and distinguishable interface of magmatic enclaves with host rocks in microscopic and macroscopic scales, spherical, globular, ellipsoidal and spindle shapes of mafic magmatic enclaves attributed to presence of theirs as mafic globule and packets in the host felsic magma, and also their similarity in superficial appearance, textural, mineralogy and geochemistry with the host rock, attributed to their different origin and magma mixing event. The formation of irregular shaped magmatic felsic enclaves with recognizable mineralogical and geochemical similarity to the host rocks, which are observed at the periphery or ceiling of the plutons, related to peripheral interruption in the primary phase of magmatic injection caused by the high pressure of consecutive injection pulse and replacement of new magmatic charge.

**Key words:** Malayer, Magmatic enclave, Xenoliths, Aspect ratio, Solid-State deformation, Flow deformation, Magma mixing

For Persian Version see pages 9 to 16

\*Corresponding author: R. Deevsalar ; E-mail: Reza-dsalar@yahoo.com

## A New Effective Approach for Enhancement of SAR Images Based on Extraction of Interscale Dependencies in the Wavelet Domain

**M. Forouzanfar<sup>1</sup>, H. Abrishami-Moghaddam<sup>1\*</sup> & M. Dehghani<sup>1</sup>**

<sup>1</sup> K.N. Toosi University of Technology, Tehran, Iran

Received: 2008 April 12      Accepted: 2008 November 30

### Abstract

Despite the wide application of SAR images in lineaments extraction, DEM generation and displacements determination, their radiometric quality and interpretability is degraded due to the presence of a multiplicative noise called speckle. Therefore, the enhancement of SAR images is an important step before using them in any application. In this paper, a new image enhancement method tailored to SAR images is proposed. In this method, the logarithmically transformed SAR image is decomposed using the dual-tree complex wavelet transform (DTCWT). In order to effectively extract the wavelet interscale dependencies, the signal component of wavelet coefficients is modeled with an isotropic stable distribution, while the noise component is approximated using an isotropic Gaussian model. A bivariate Bayesian estimator is then designed to effectively remove speckle from noisy coefficients in the complex wavelet domain. Both quantitative and qualitative comparisons of the proposed method with new speckle reduction methods, demonstrate its higher performance in speckle reduction from SAR images

**Keywords:** Speckle Noise, SAR Images, Dual-Tree Complex Wavelet Transform (DTCWT), Bivariate Bayesian Estimator, Bivariate Isotropic Stable Distribution.

For Persian Version see pages 17 to 22

\* Corresponding author: H.Abrishami\_moghaddam; E\_mail: moghadam@saba.kntu.ac.ir

## Geochemistry of the Asmari Formation at the Tang-e-Sapou and Tang-e-Ban Outcrop Sections, Kohgiluyeh va Bouyer Ahmad Province

**Z. K. Mossadegh<sup>1\*</sup>, M. H. Adabi<sup>1</sup> & A.Sadeghi<sup>1</sup>**

<sup>1</sup>Department of Geology, Science Faculty, Shahid Beheshti University, Tehran, Iran

Received: 2007 December 10      Accepted: 2009 February 02

### Abstract

We studied the geochemistry of the Asmari Formation in two outcrop sections: Tang-e-Sapou a 260 m section near Dehdasht City (Kohgiluyeh va Bouyer Ahmad Province) and Tang-e-Ban a 214 m section near Behbahan City (Khozestan Province). Sampling included the complete Asmari Formation and the top of the Pabdeh Formation. The Late Oligocene to Early Miocene Asmari Formation lies above the Pabdeh Formation and is overlain by the Gachsaran Formation. Elemental geochemistry (Fe, Mg, Na, Sr, Mn, Ca), and Oxygen and Carbon isotope analyses indicate that meteoric diagenesis affected carbonates of the Asmari Formation. The  $\delta^{18}\text{O}/\delta^{13}\text{C}$  data plots in an inverted J-trend suggesting that meteoric diagensis occurred in a closed to semi-closed system. The geochemistry also